

Supplementary Data

This supplementary data is a part of paper entitled “*Facile Synthesis, Characterization and in vitro Antibacterial Efficacy of Functionalized 2-Substituted Benzimidazole Motifs*”.

Spectra for Characterization

¹H-NMR Spectra

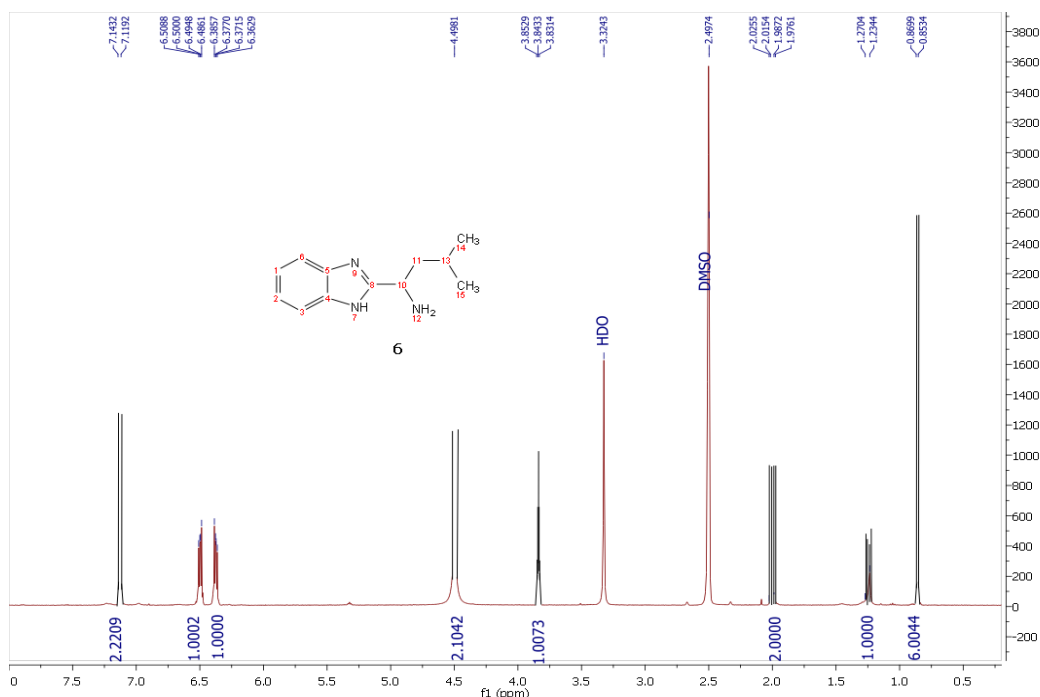


Fig. S1: ¹H-NMR spectrum of 1-(1*H*-benzo[*d*]imidazol-2-yl)-3-methylbutan-1-amine **6**

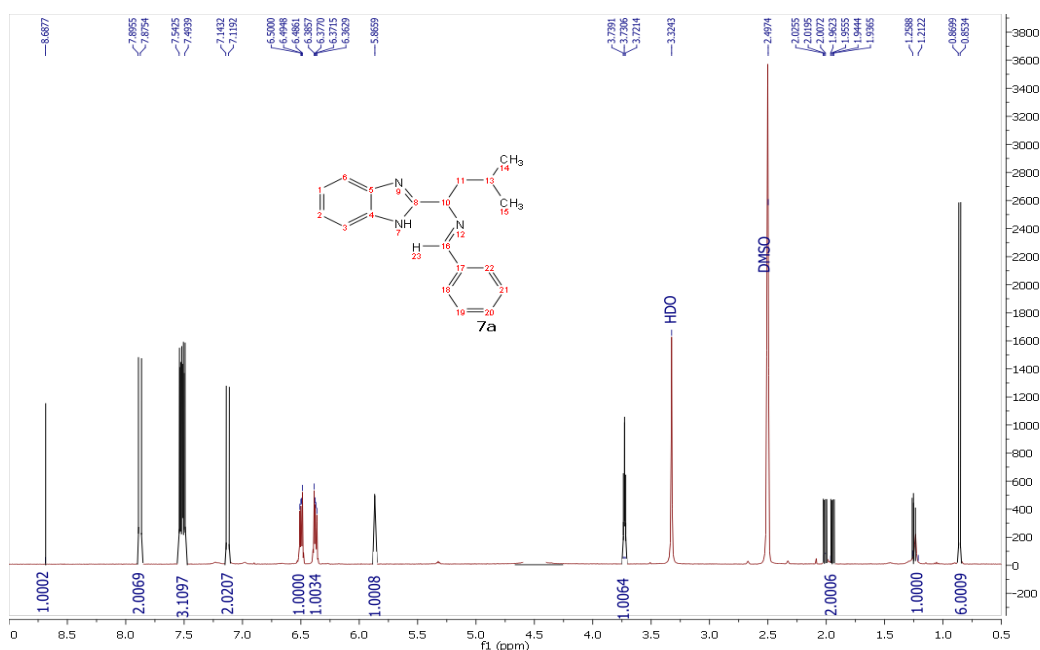


Fig. S2: ¹H-NMR spectrum of 1-(1*H*-benzo[*d*]imidazol-2-yl)-*N*-benzylidene-3-methylbutan-1-amine **7a**

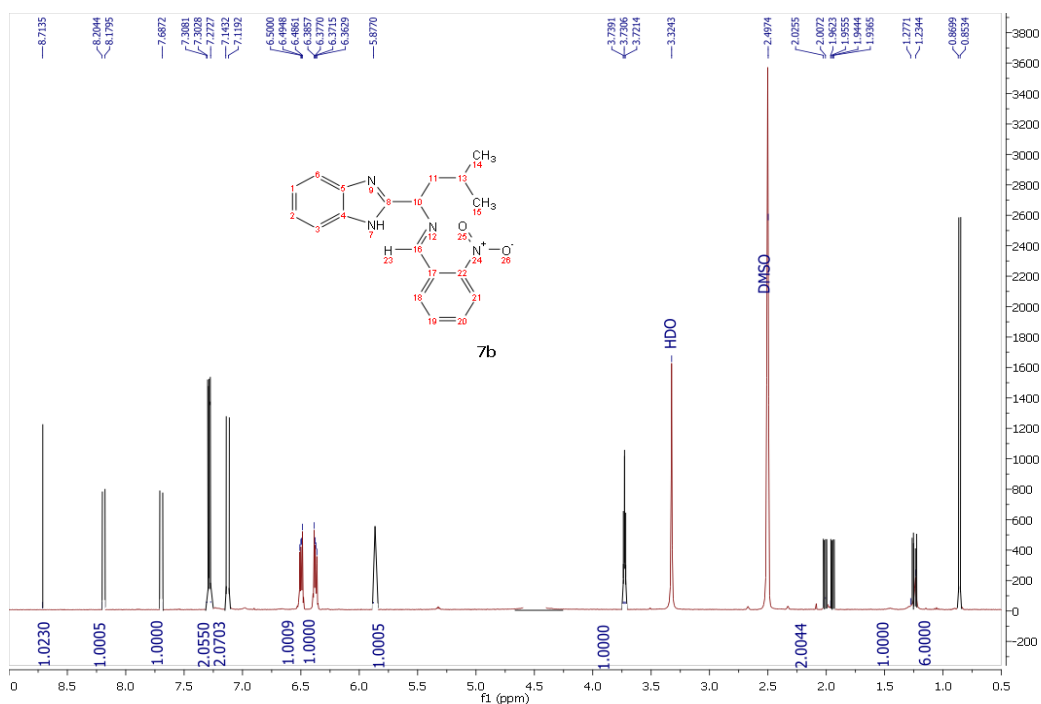


Fig. S3: $^1\text{H-NMR}$ spectrum of 1-(1*H*-benzo[d]imidazol-2-yl)-3-methyl-*N*-(2-nitrobenzylidene)butan-1-amine 7b

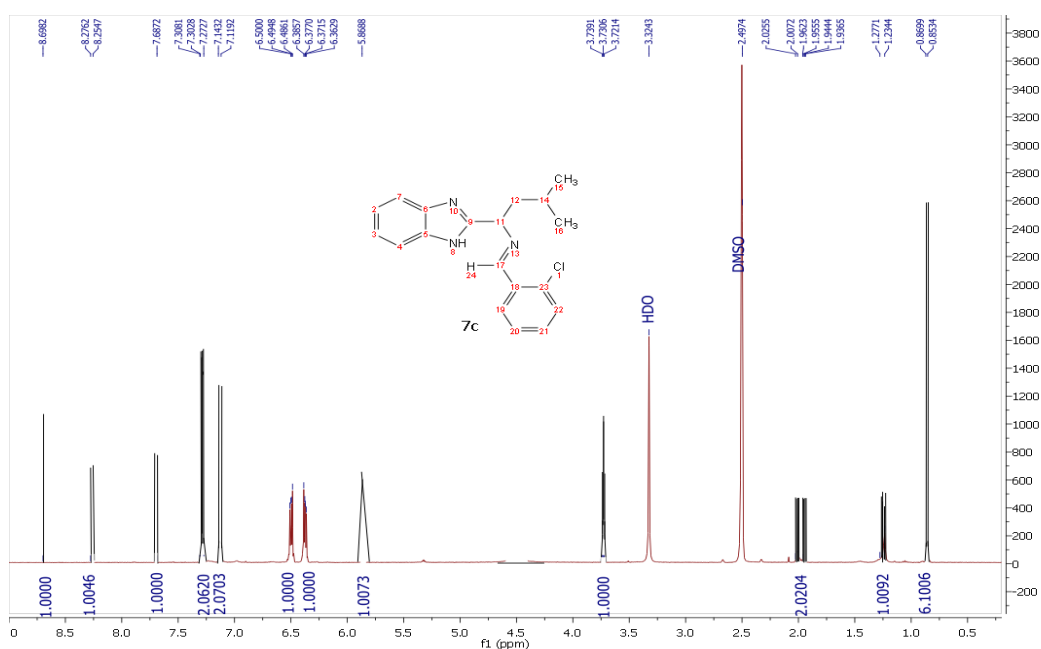
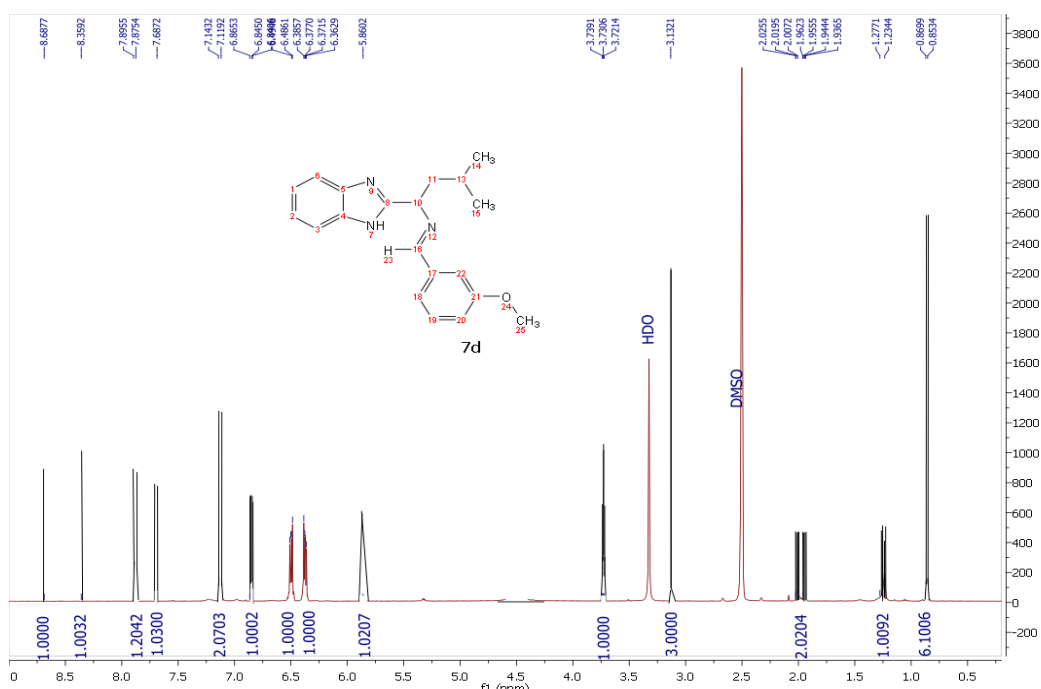
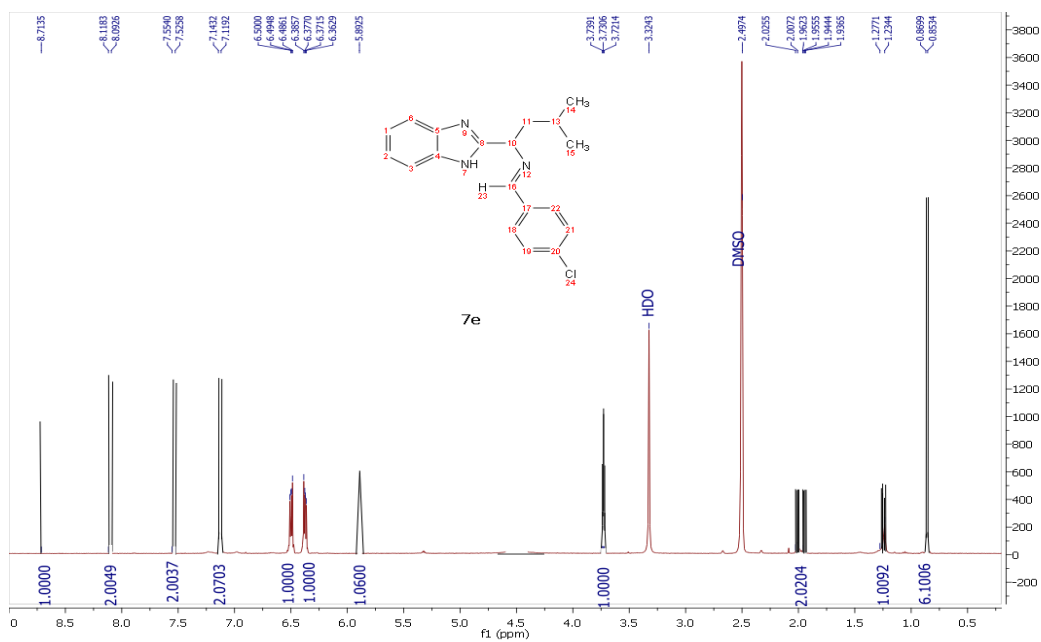


Fig. S4: $^1\text{H-NMR}$ spectrum of 1-(1*H*-benzo[d]imidazol-2-yl)-*N*-benzylidene-3-methylbutan-1-amine 7c

Fig. S5: ¹H-NMR spectrum of 1-(1*H*-benzo[*d*]imidazol-2-yl)-*N*-benzylidene-3-methylbutan-1-amine **7d**Fig. S6: ¹H-NMR spectrum of 1-(1*H*-benzo[*d*]imidazol-2-yl)-*N*-benzylidene-3-methylbutan-1-amine **7e**

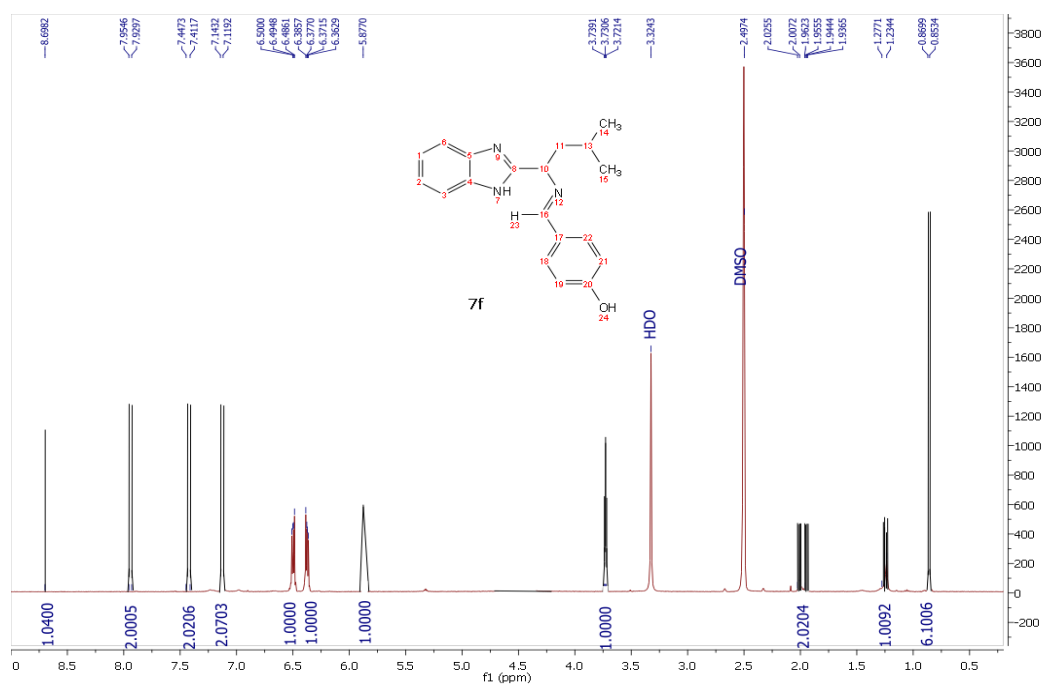


Fig. S7: $^1\text{H-NMR}$ spectrum of 1-(1*H*-benzo[*d*]imidazol-2-yl)-*N*-benzylidene-3-methylbutan-1-amine 7f

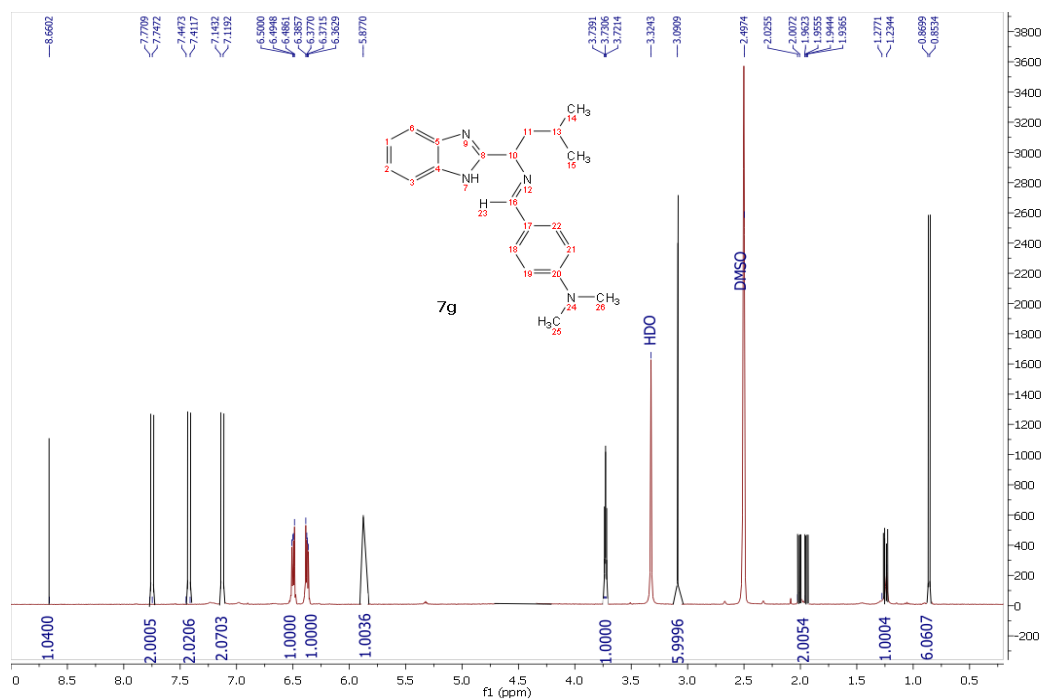


Fig. S8: $^1\text{H-NMR}$ spectrum of 1-(1*H*-benzo[*d*]imidazol-2-yl)-*N*-benzylidene-3-methylbutan-1-amine 7g

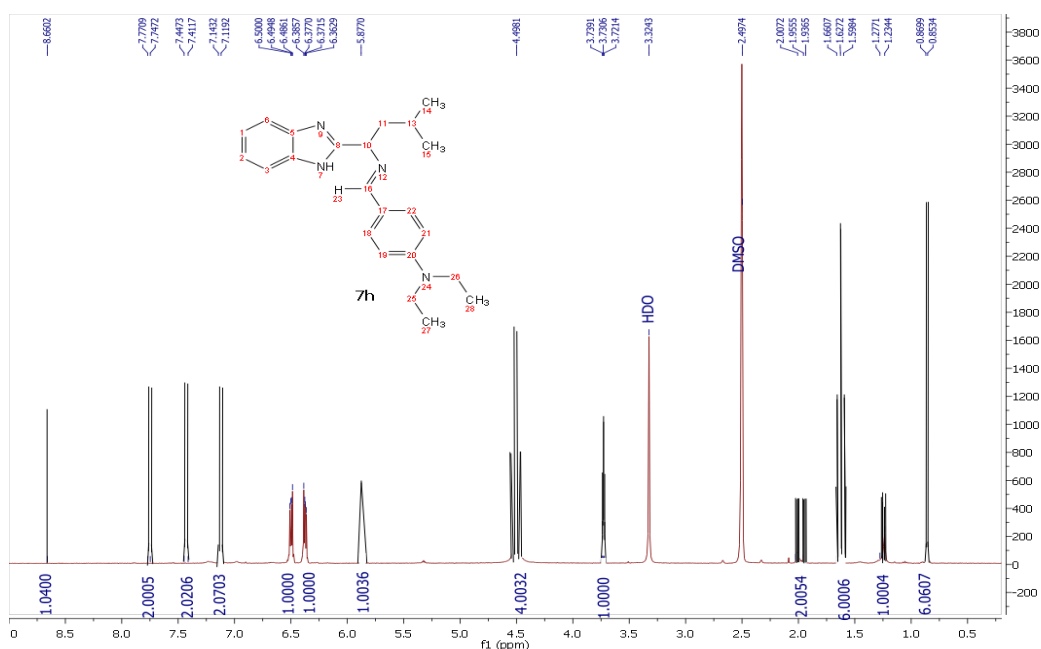


Fig. S9: $^1\text{H-NMR}$ spectrum of 1-(1*H*-benzo[*d*]imidazol-2-yl)-*N*-benzylidene-3-methylbutan-1-amine **7h**

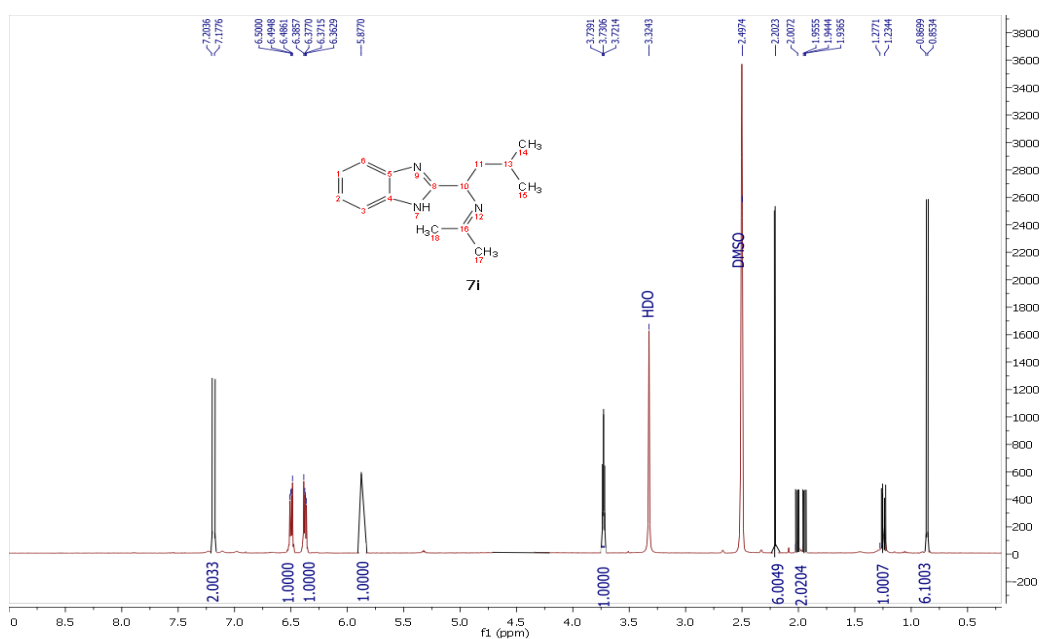


Fig. S10: $^1\text{H-NMR}$ spectrum of 1-(1*H*-benzo[*d*]imidazol-2-yl)-*N*-benzylidene-3-methylbutan-1-amine **7i**

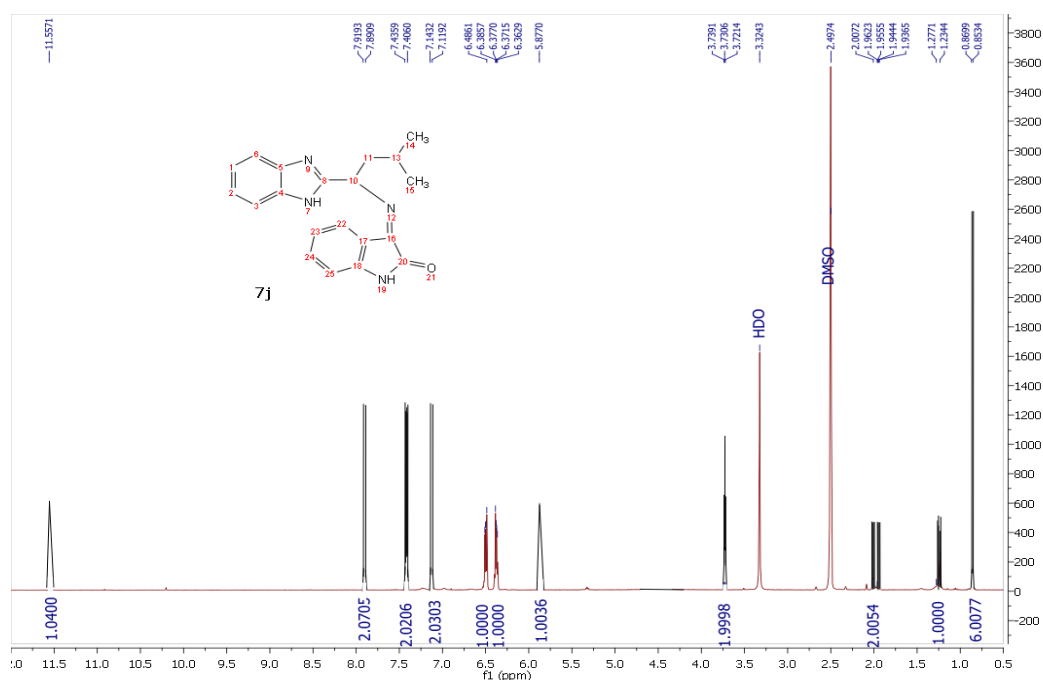


Fig. S11: $^1\text{H-NMR}$ spectrum of 1-(1*H*-benzo[*d*]imidazol-2-yl)-*N*-benzylidene-3-methylbutan-1-amine 7j

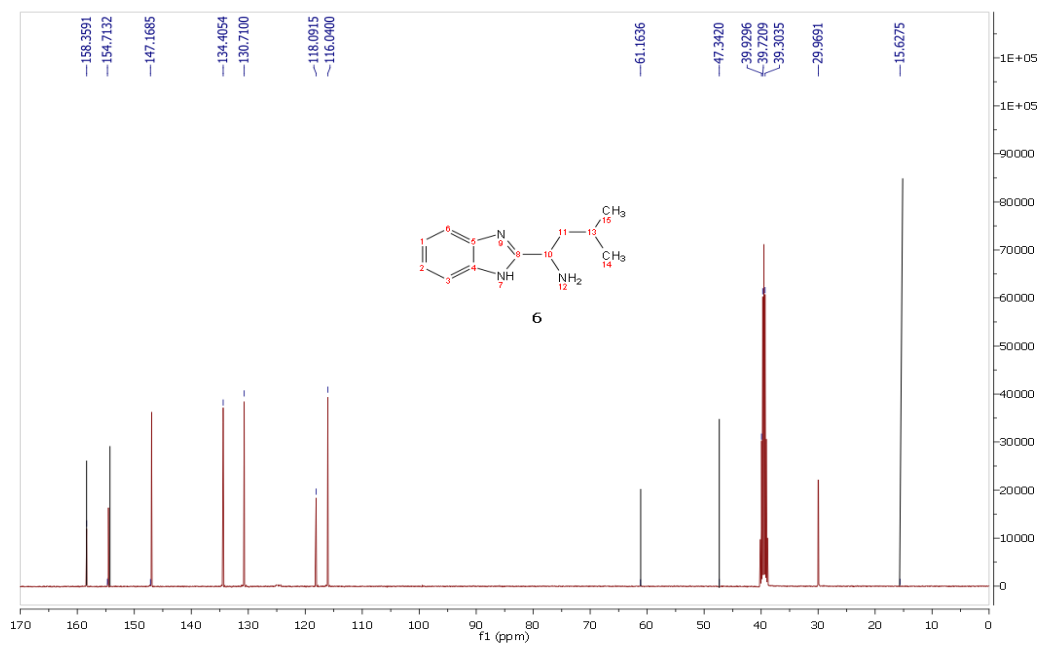
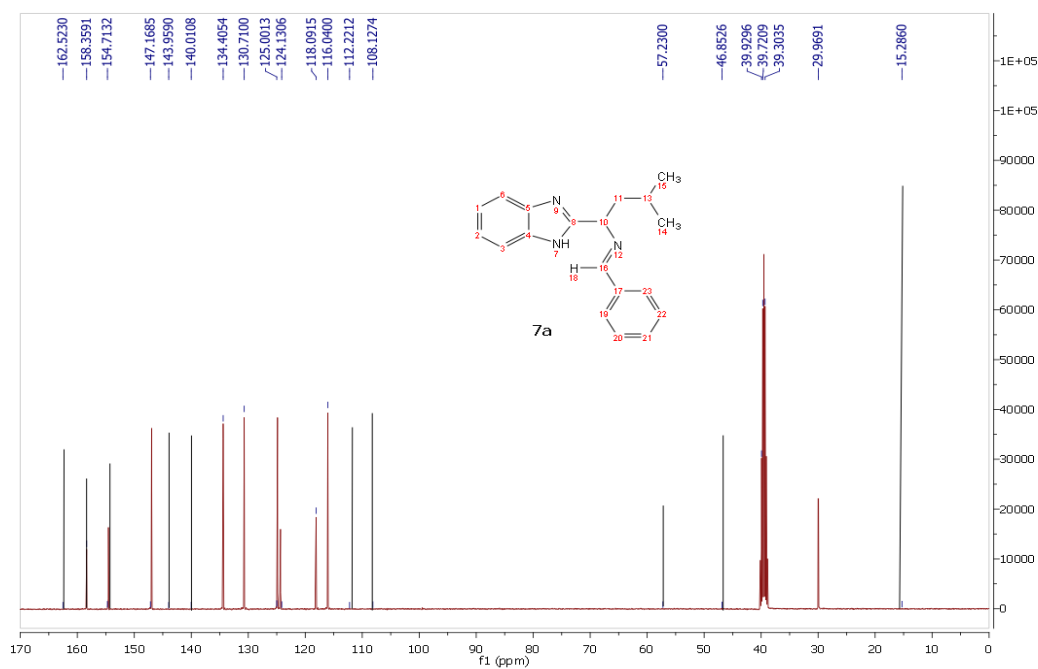
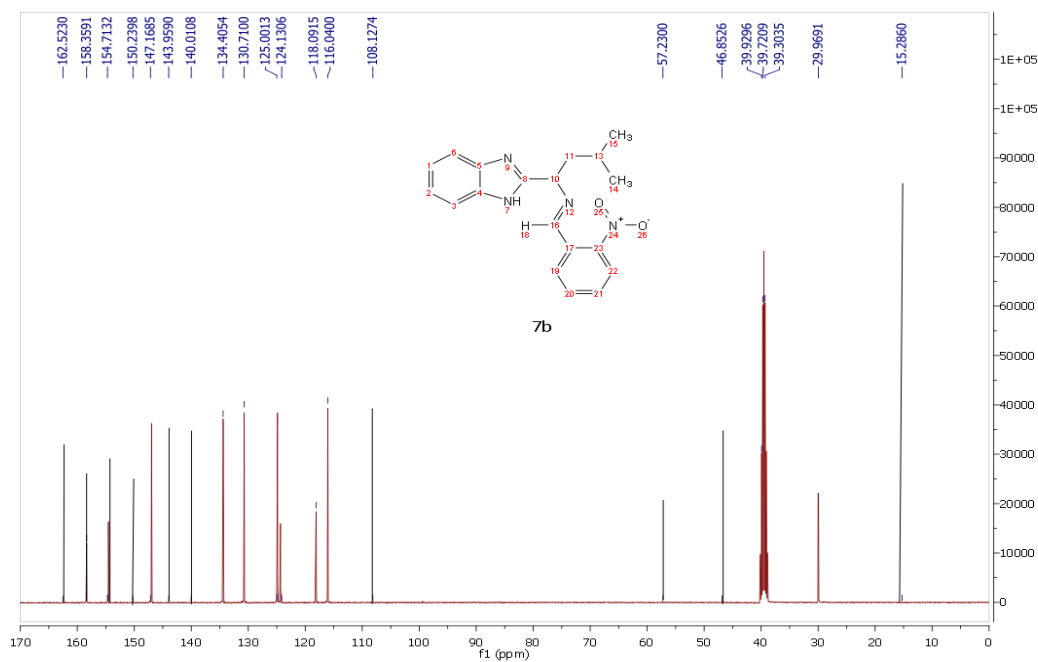
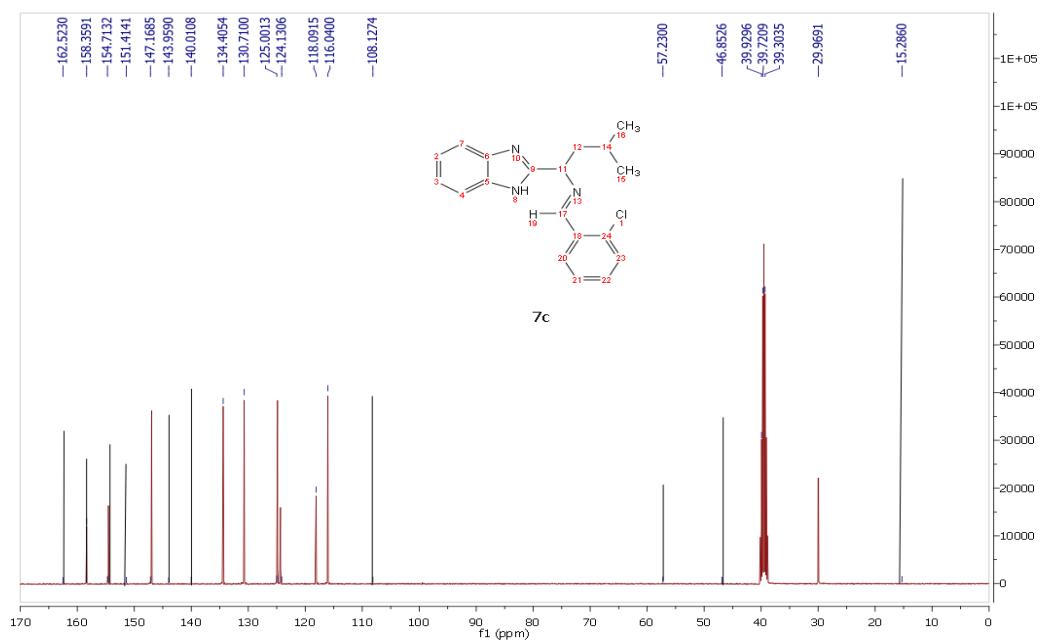
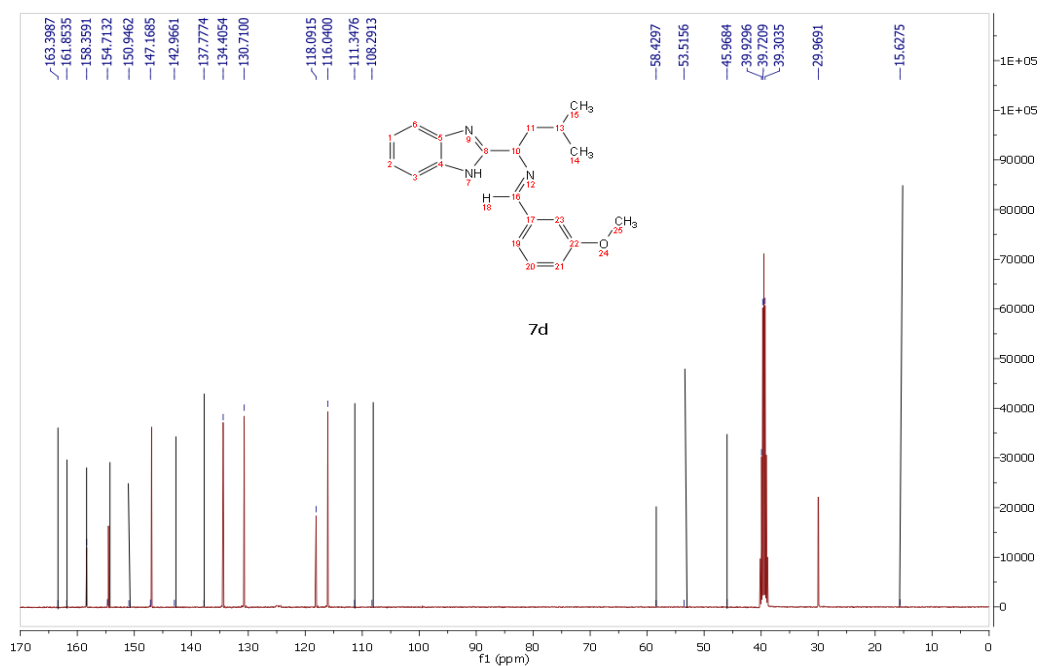
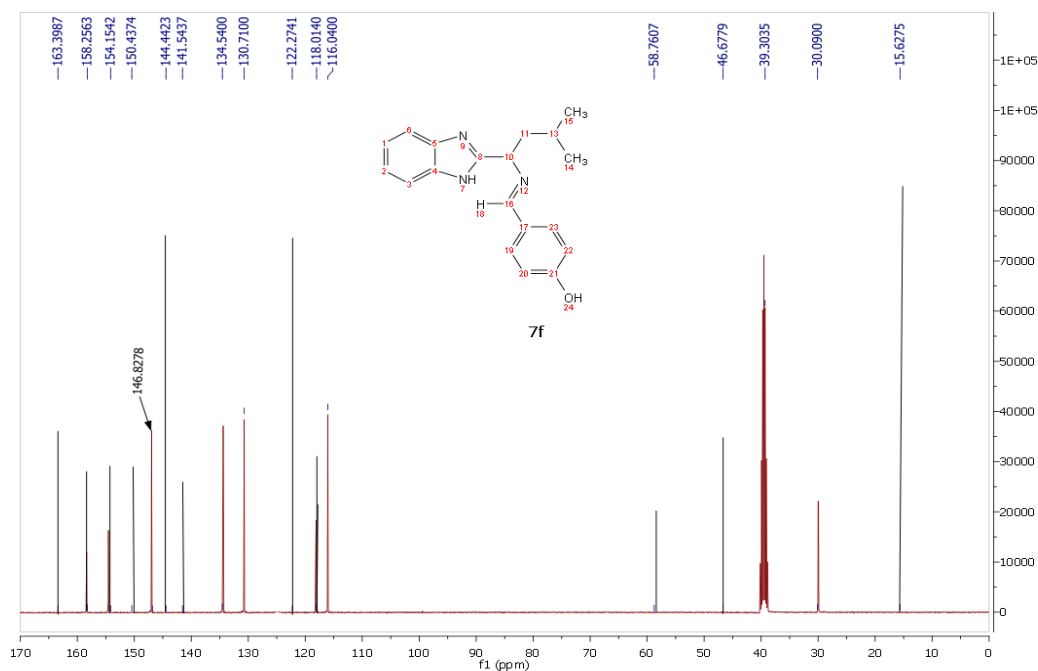
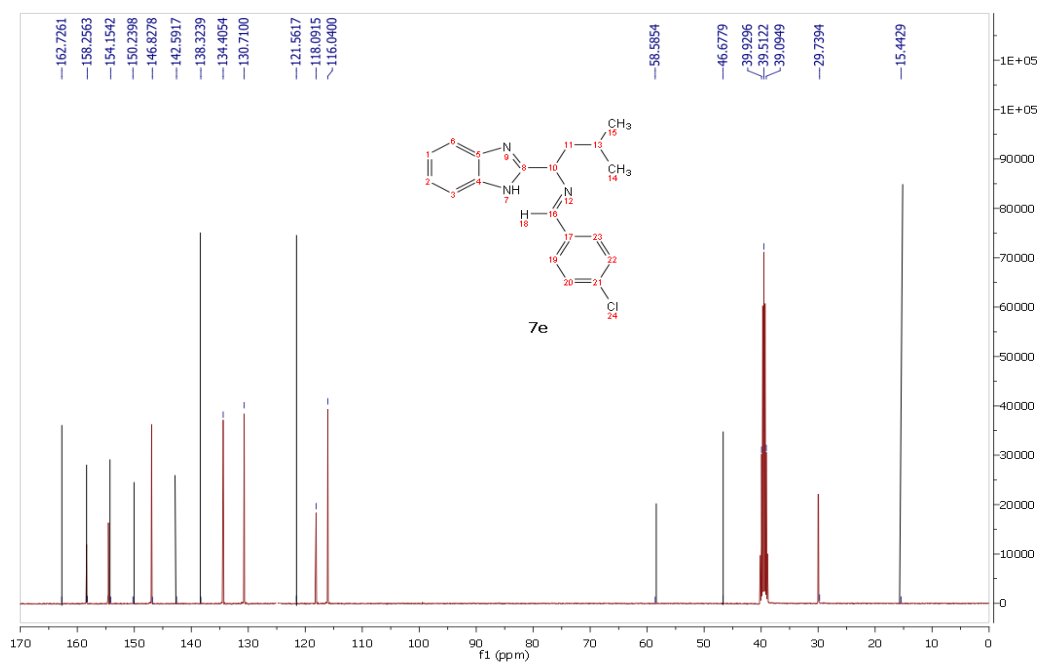
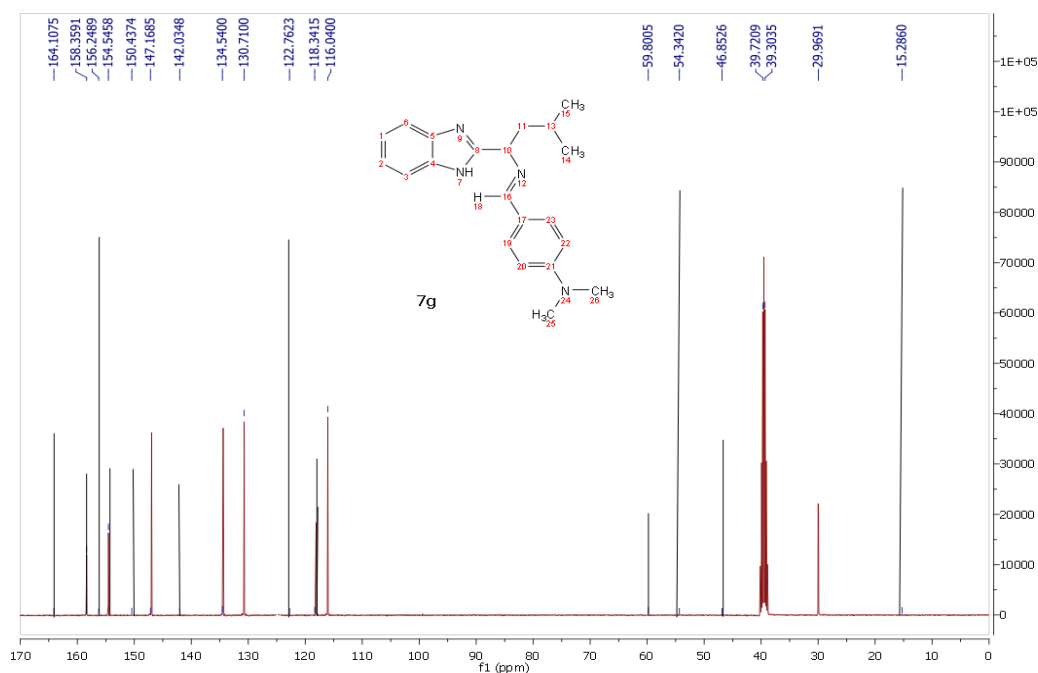
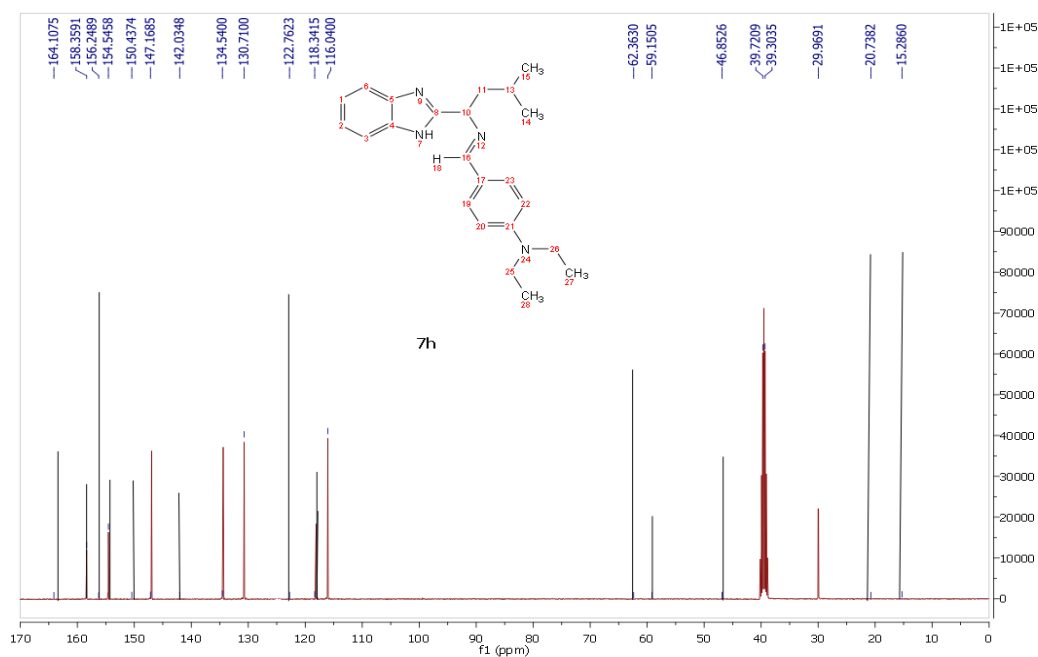


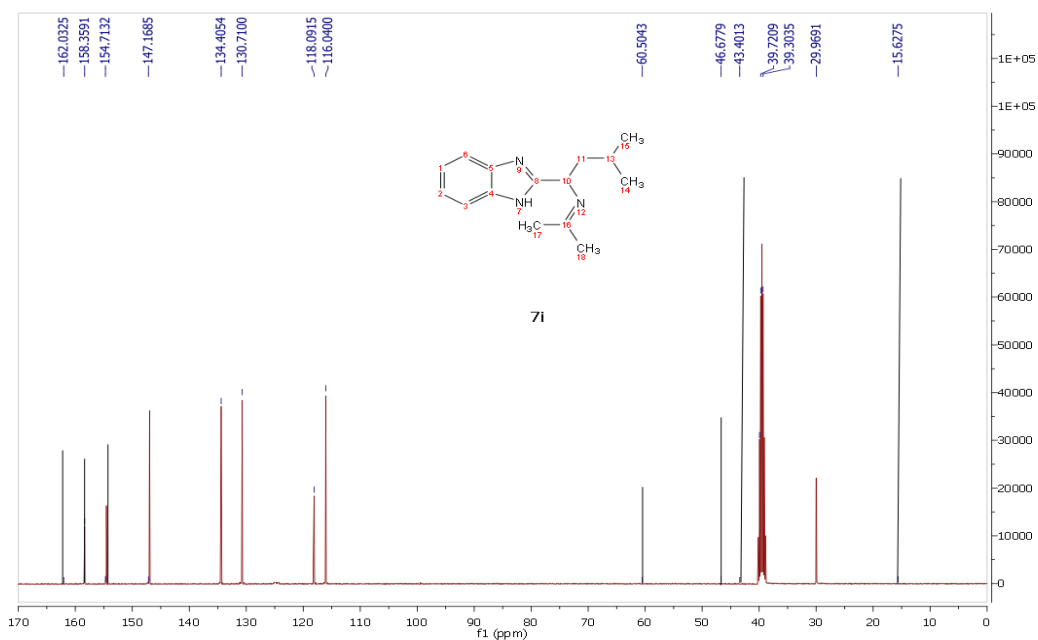
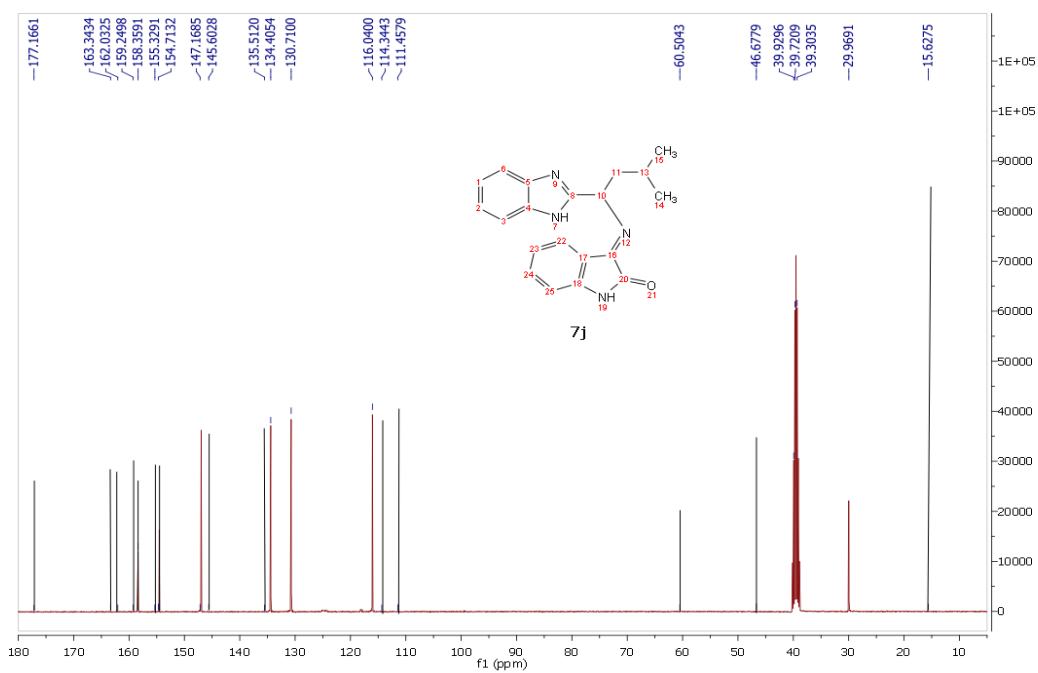
Fig. S12: $^{13}\text{C-NMR}$ spectrum of 6

Fig. S13: ¹³C-NMR spectrum of 7aFig. S14: ¹³C-NMR spectrum of 7b

Fig. S15: ^{13}C -NMR spectrum of 7cFig. S16: ^{13}C -NMR spectrum of 7d



Fig. S19: ^{13}C -NMR spectrum of 7gFig. S20: ^{13}C -NMR spectrum of 7h

Fig. S21: ^{13}C -NMR spectrum of 7iFig. S22: ^{13}C -NMR spectrum of 7j

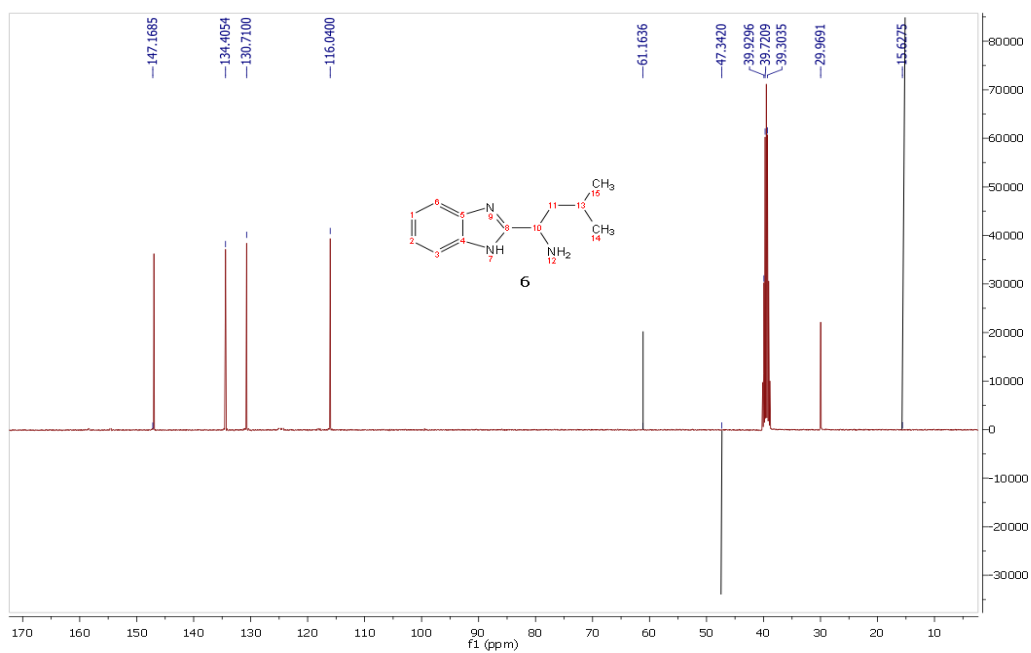


Fig. S23: DEPT 135 NMR spectrum of 6

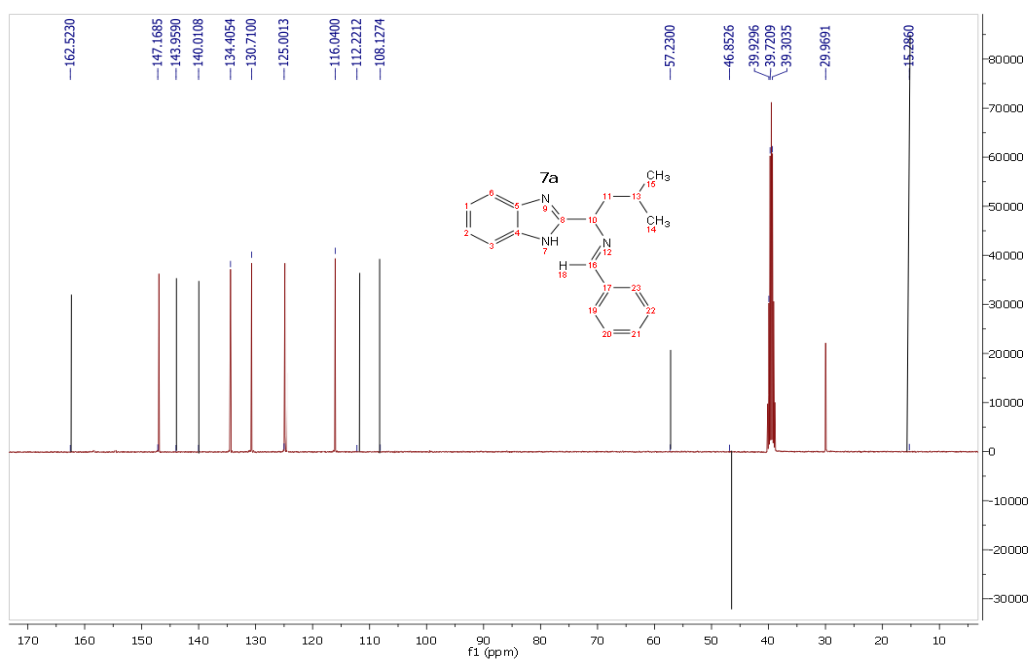


Fig. S24: DEPT 135 NMR spectrum of 7a

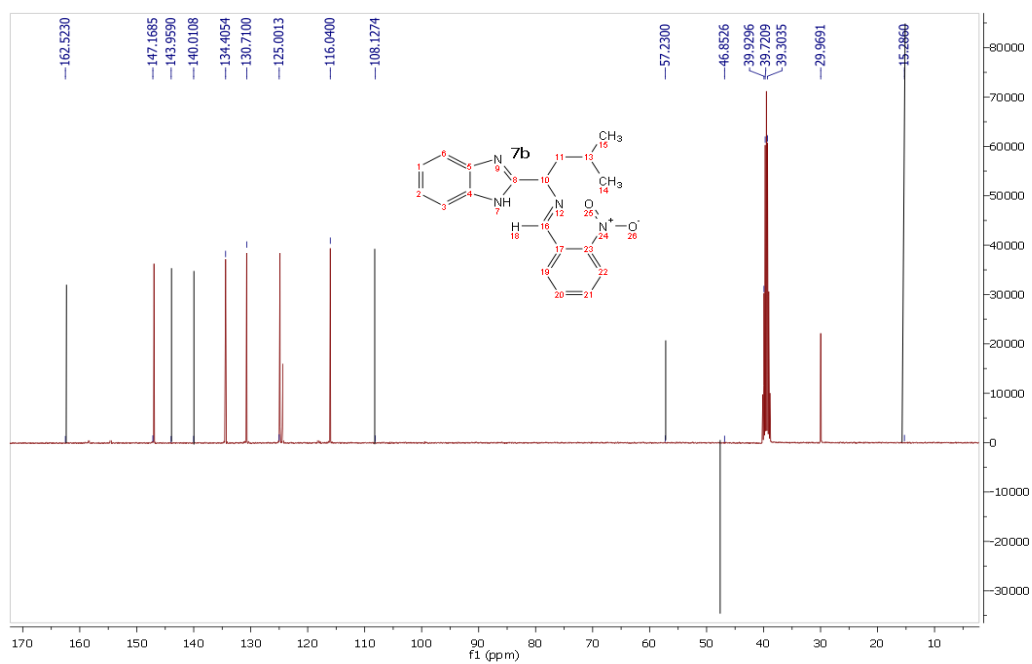


Fig. S25: DEPT 135 NMR spectrum of 7b

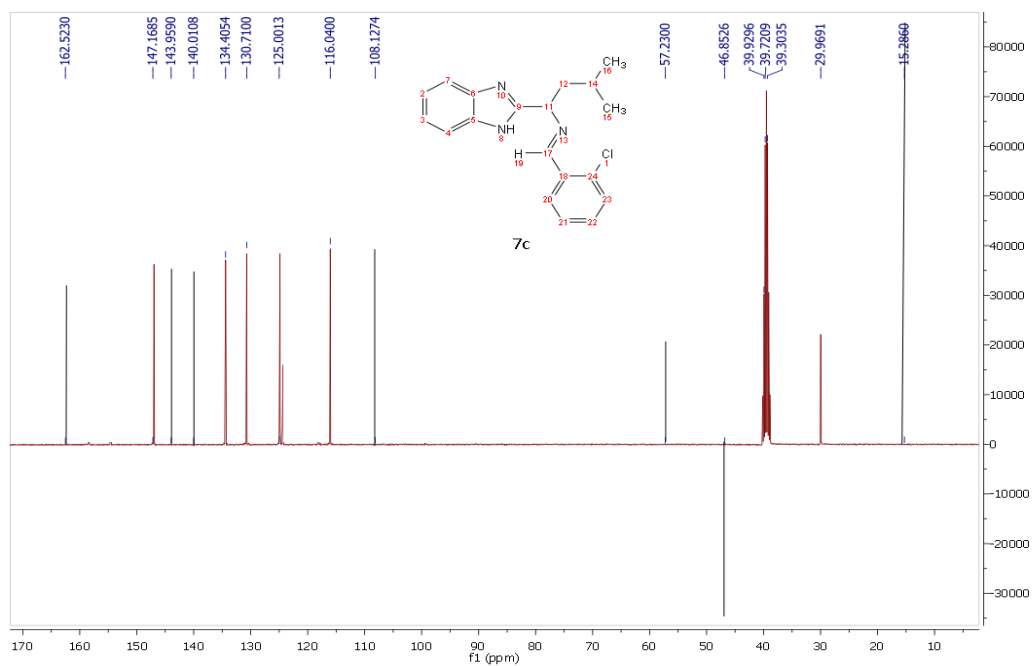


Fig. S26: DEPT 135 NMR spectrum of 7c

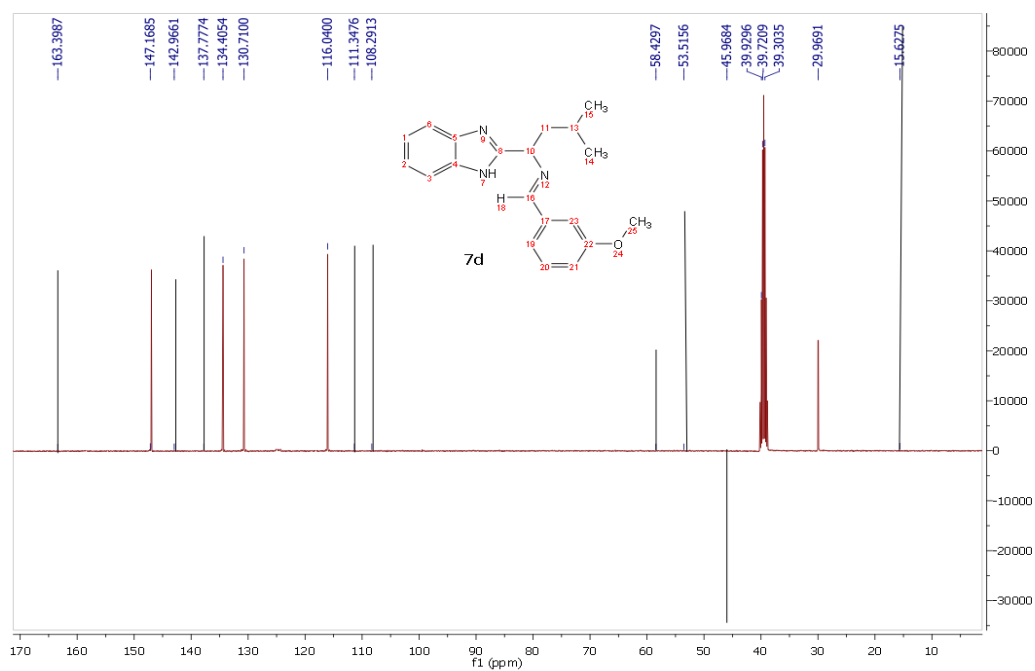


Fig. S27: DEPT 135 NMR spectrum of 7d

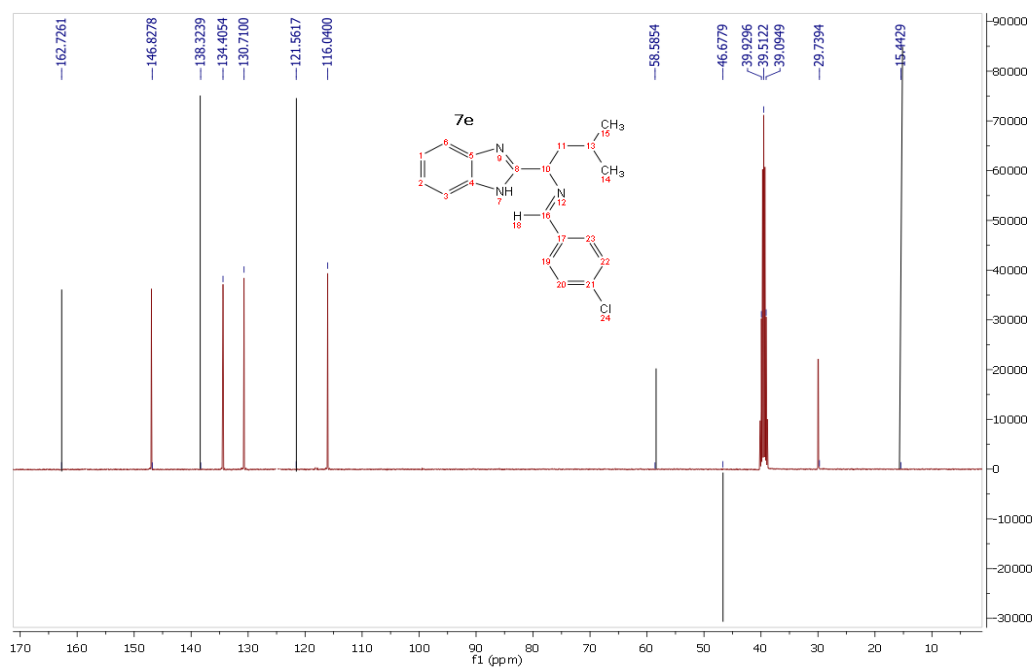


Fig. S28: DEPT 135 NMR spectrum of 7e

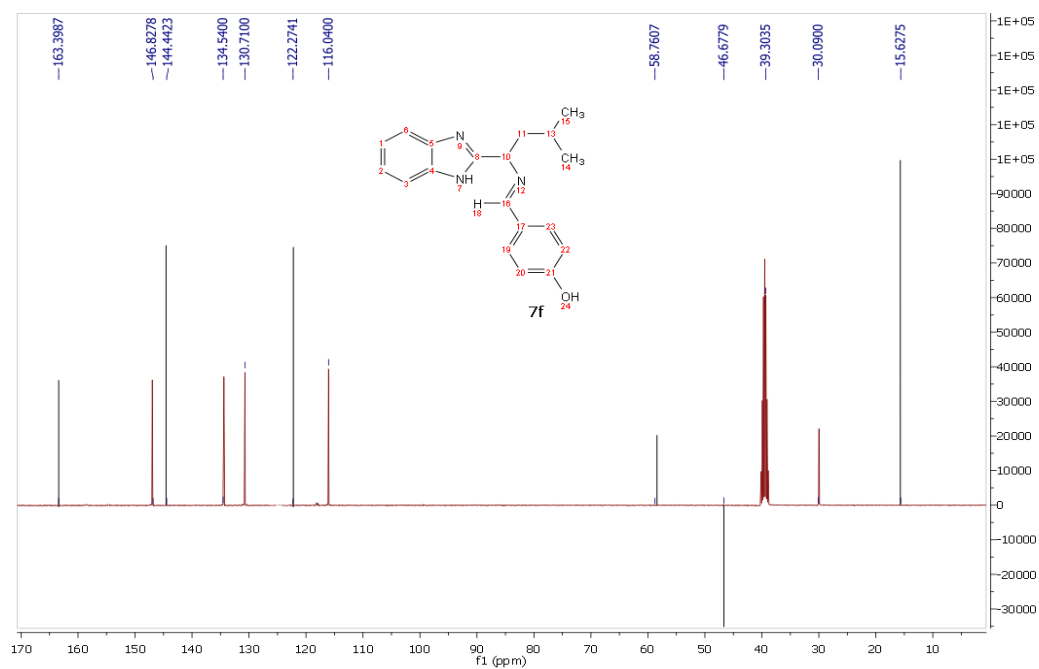


Fig. S29: DEPT 135 NMR spectrum of 7f

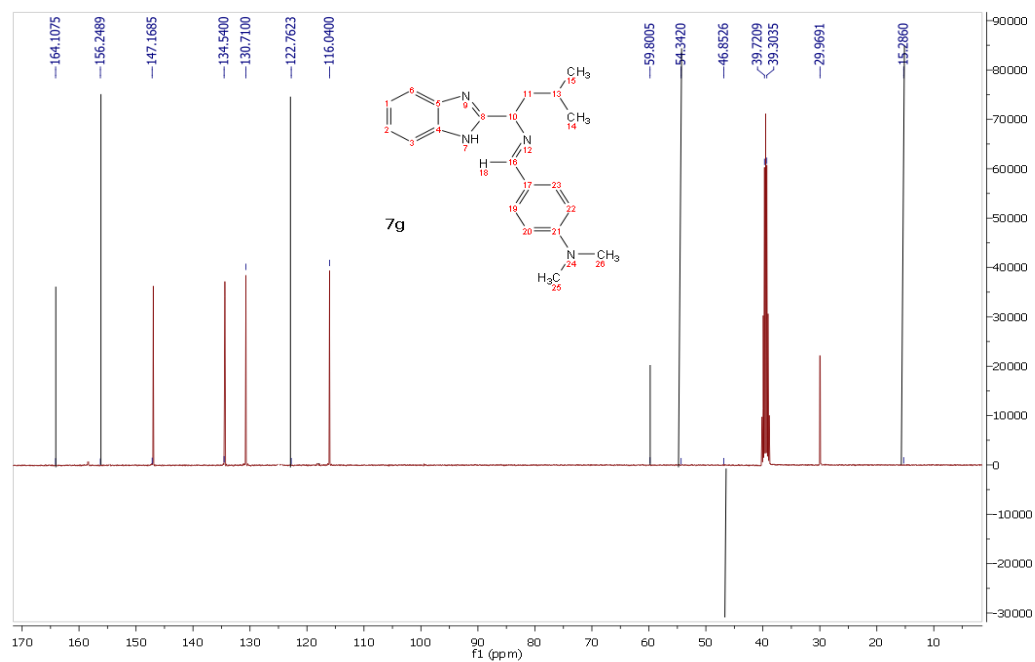


Fig. S30: DEPT 135 NMR spectrum of 7g

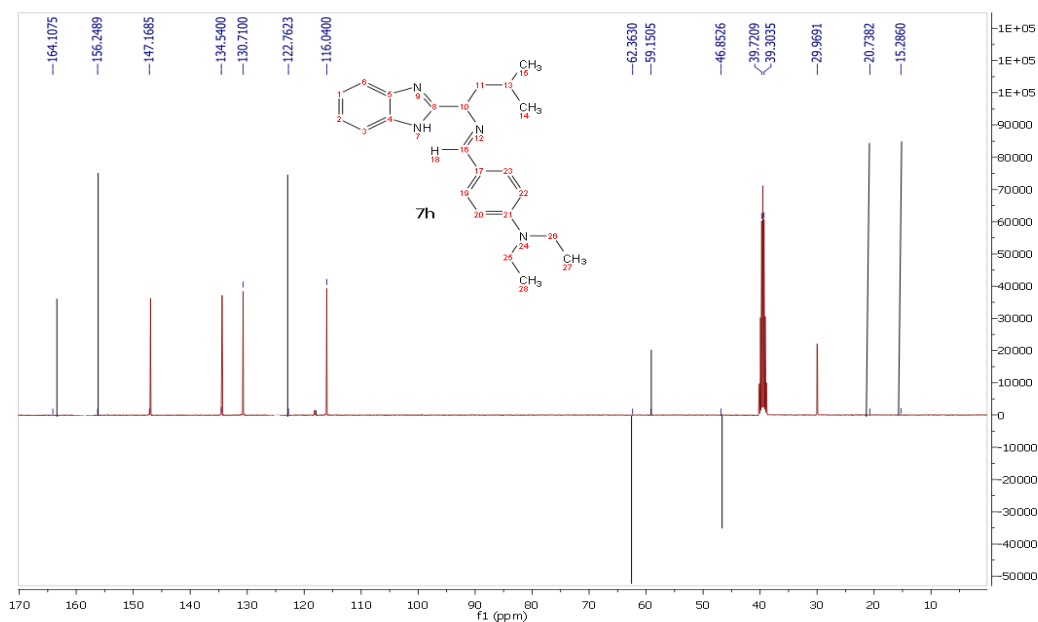


Fig. S31: DEPT 135 NMR spectrum of 7h

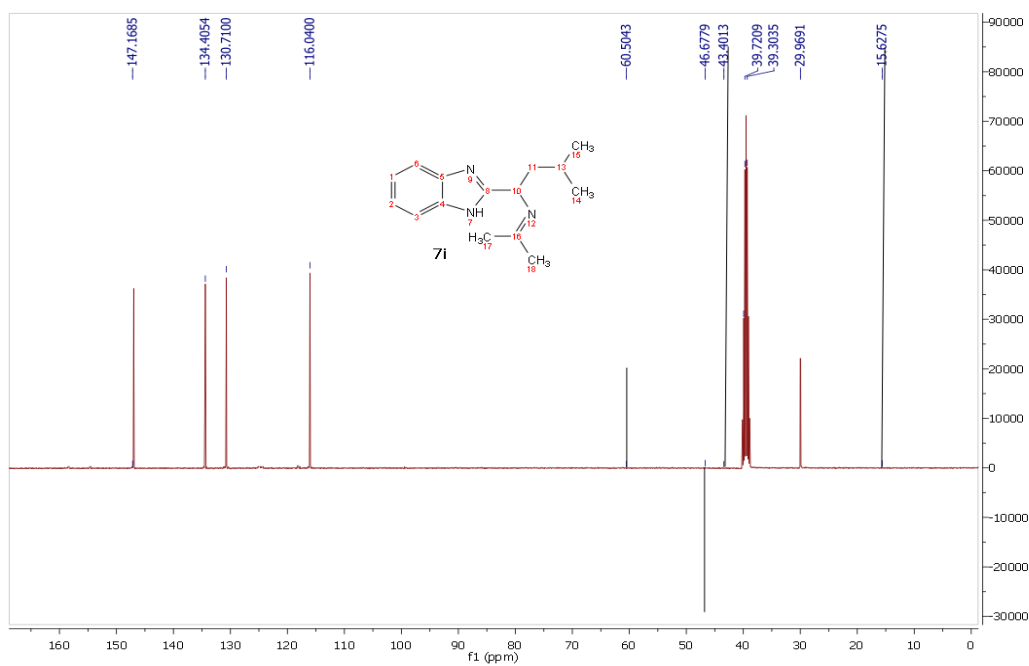


Fig. S32: DEPT 135 NMR spectrum of 7i

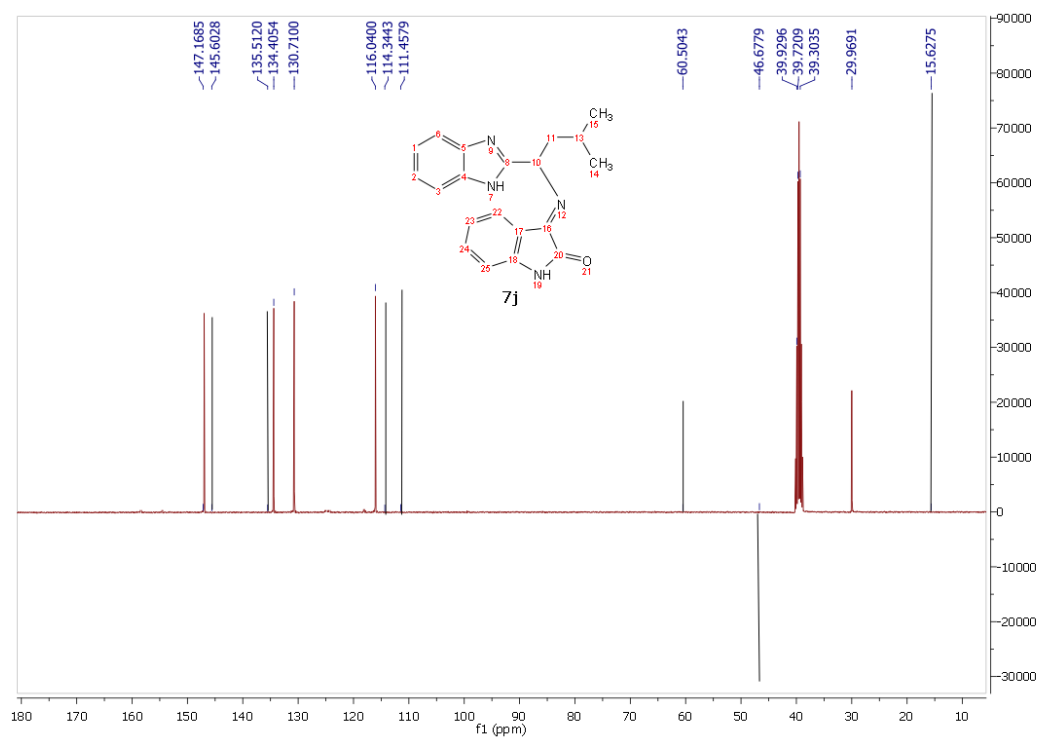


Fig. S33: DEPT 135 NMR spectrum of 7j